

کورونای داخلی در پلی اتیلن

دکتر محمدقلی محمدی

مدرس مدعو دانشکده مهندسی برق دانشگاه صنعتی امیرکبیر

مهندس علیرضا علویان‌مهر

فارغ‌التحصیل دوره کارشناسی ارشد قدرت دانشگاه صنعتی امیرکبیر

چکیده

استفاده روزافرود از عایق‌های خانواده پلی‌اتیلن مریزاًسیون در صنایع گالباسازی و تهیه خازنهای فشار قوی الکتریکی مستلزم حل مسائل و مشکلات پیچیده‌ای بوده است که هم‌اکنون مساله روز تحقیق و بررسی بر روی این عایق‌ها است. در بین این عایق‌ها پلی‌اتیلن گاربرد و سیستمی ناشی از خواص الکتریکی و عایقی خوب خود یافته است، بهویژه در گالباسازی تحت فشار قوی تا ولتاژهای بالاتر از ۷۵۰ کیلوولت. یکی از پدیدهای مهم در این گونه عایق‌ها، پدیده تخلیه الکتریکی ناقص ۱ یا کورونای داخلی است که در حفره‌های^۲ مجوف و گوچک و میکروسکوبیک عایق پدید می‌آید. این حفره‌ها که به‌هنگام تهیه عایق پلی‌اتیلن در آن باقی می‌مانند، موجد تلفات یونیزاًسیون و نیز خرابی زودرس عایق می‌گردد. در مقاله حاضر بررسی کیفی و کمی این پدیده در عایق پلی‌اتیلن ارائه می‌گردد. بدین منظور با تعییه حفره‌های معین و مشخص در قطعاتی از این عایق آنها را تحت فشار الکتریکی گذارد و شروع و گسترش کورونا در آنها مورد آزمایش قرار گرفته و مکانیزم آن در تابعیت از تغییرات هندسی و گمی حفره‌ها بررسی می‌شود.

Internal Corona in Polyethylene

M. G. Mohammadi, Ph. D.

&

A. R. Alavian-Mehr, M. Sc.

Elect. Eng. Dept. Amirkabir Univ. of Tech

ABSTRACT

Every day increase in use of dielectrics, in cable industry, and production of high voltage capacitors, specially of polymerisation group, requires study and research for solving sophisticated problems. In the mean time the topics of these kinds are very common and interesting in academic research all over the world.

Among these dielectric materials, polyethylene has a large usage because of its good insulation properties in high voltage cable industry. But one of the important problems for these dielectrics is known as "Partial Discharge", or "Internal Corona" which is developed in small voids of solid dielectrics. The voids in these materials are produced when the material is manufactured and this in the material causes ionization losses and early deterioration.

This paper discusses the "Partial Discharges" both from quality and quantity point of view. The testing examination of several pieces of Polyethylene with specific voids in them were taken place under some precise measurements. The procedure for each experiment was such that the inception voltage of discharges were applied and increase of the results were taken. This experiment were repeated for all types of pieces with respect to diameter, depth, and number of voids and the results were observed and compared.

The measurements have been taken in two methods which are the "Wide-Band" and "Narrow-Band" Detection methods. For each of these methods appropriate circuits were designed and used.

علیرغم پیشرفت تکنولوژی کابلسازی وجود حفره‌های مجوف در عایق‌بندی گروه پلی میرزا سیون حتی است. این حفره‌ها که به‌هنگام تهیه عایق‌بندی حول هادی برآور باقی ماندن مولکولهای آب یا گاز در داخل آن تشکیل می‌شوند، پدیده‌ورنده مشکلاتی در بهره‌برداری عایق، تحت فشار قوی الکتریکی است. با قرار گرفتن عایق پلی‌اتیلن تحت فشار قوی الکتریکی، در تابعیت از افزایش این فشار و گذشت آن از فشار الکتریکی بحرانی، تخلیه الکتریکی ناقص در این حفره‌ها شروع شده و ادامه و تشدید آن منجر به موقع فروپاشی الکتریکی یا حرارتی در عایق می‌شود. بدین دلیل رعایت توصیه‌های استانداردهای بین‌المللی، سازندگان چنین عایقه‌ای را موظف می‌سازد که حفاظت سیستمهای الکتریکی – عایقی را در مقابل چنین تخلیه الکتریکی ناقص به‌عهده گیرند و در نگاه داشتن تلفات یونیزا سیون در حد تعیین شده به‌وسیله استانداردهای بین‌المللی کوشانند.

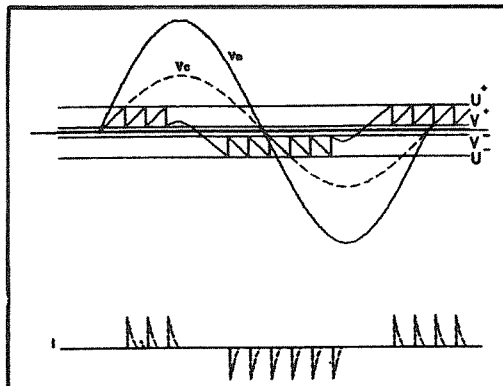
پدیده کورونای داخلی

وجود حفره‌های مجوف درون عایقه‌ای جامد باعث تخلیه الکتریکی ناقص یا کورونای داخلی در آنها می‌گردد، و در درازمدت اکسیده شدن و تنزل ارزش عایقی و در نهایت شکست کامل عایق را بهمراه دارد. به‌طور کلی تخلیه الکتریکی ناقص در عایقه‌ای رخ می‌دهد که از مواد عایقی با فشار الکتریکی شکست پائین شکل شده باشد، به‌طوری که ماده ناهمگن فوق در شدت میدانی که پائین‌تر از فشار الکتریکی شکست عایق فرار گرفته است به‌وسیله شکستی الکتریکی یا حرارتی سوق می‌یابد. علاوه بر آن عدد عایقی پارهای از مواد تشکیل‌دهنده عایق معمولاً از عدد عایقی بقیه مواد عایق کمتر بوده و شدت میدانی که در آن، ماده با استناد کم عایق به‌شکست می‌رسد از استنادات الکتریکی مجموعه عایق به‌مراتب کمتر است.

در شکل (۱) عایقی جامد که حاوی یک حفره است را نشان داده‌ایم. این عایق دارای مدار الکتریکی معادلی است که در شکل (۲) نمایش داده شده است. C_c نشانگر ظرفیت الکتریکی حفره یا قسمتی از حفره است که در آن تخلیه رخ می‌دهد. C_b ظرفیت عایق ارتباطی است که با حفره سری قرار می‌گیرد و C_a ظرفیت الکتریکی بقیه عایق می‌باشد.

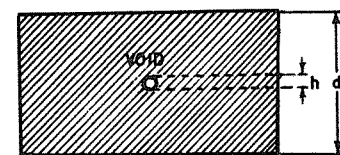
زمانی که عایق حاوی حفره تحت فشار الکتریکی قرار گیرد، مطابق شکل (۲) تقسیم پتانسیلی در اجزا داخلی عایق صورت می‌پذیرد به‌طوری‌که فشار الکتریکی دو سر حفره عبارت خواهد بود از:

$$V_c = \frac{C_b}{C_c + C_b} \cdot V_a \quad (1)$$



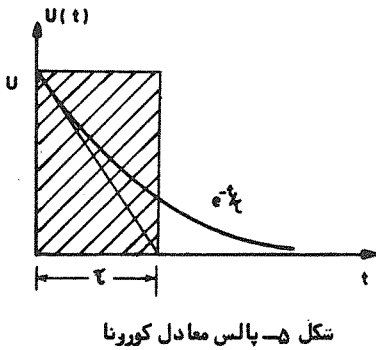
شکل ۳- کورونای داخلی در طول یک سیکل

پس از آن که یکبار تخلیه رخ داد، با بالا رفتن فشار الکتریکی عایق به‌سوی حد اکثر خود، ولتاژ دو سر حفره مجدداً "افزایش می‌یابد. این ولتاژ ناشی از جمع آثار میدان الکتریکی اصلی و میدان ناشی از بارهای سطحی روی دیوارهای حفره که از تخلیه قبلی باقی ماده است، می‌باشد. با رسیدن فشار الکتریکی دو سر حفره به U^+ ، تخلیه جدیدی رخ می‌دهد، و این پدیده چندین بار اتفاق می‌افتد تا آنکه فشار الکتریکی قرار گرفته روی عایق شروع به‌کاهش کند. در این صورت ولتاژ



شکل ۱- عایق حاوی حفره

مجموع پالسها) چنین بیان می‌شود:
 - باند باریک یا اندازه‌گیری پالسها پدیدآمده با دستگاهی صاحب
 باند باریک عبارت است از Δf که کوچکتر است از میانگین فرکانس یا
 f_0 . (مثلًا "KHz $\Delta f = 9$ KHz" و $f_0 = 500$ KHz) - باند پهن یا
 اندازه‌گیری پالسها پدیدآمده با دستگاهی صاحب باند پهن عبارت
 است از Δf که حدوداً در تابع با فرکانسها منتهی‌الیه f_2 قرار
 می‌گیرد. (مثلًا "KHz $\Delta f = 300$ KHz" و $f_2 = 800$ KHz).
 شکل پالس تخلیه الکتریکی ناقص در حفره (پالس ناشی از کرونا)
 در حفره) و نحوه پدیدآمدن آن در شکل (۵) نمایش داده شدند.
 بدینهی است که مکانیزم تخلیه در این شکل تا حدودی ساده فرض شده
 است.



به منظور درک تغییرات پالس، پس از آشکارسازی، ابتدا این پالس را با یک پالس چهارگوش اشتباه می‌کنیم (شکل ۵). دامنه فشار الکتریکی پالس ورودی عبارت است از:

$U_{T\delta}(t)$

ده در آن:
 $\{ \delta : برابر است با ۰ یا ۱$

۲: زمان پالس

۳: مقدار حداقل فشار الکتریکی است.

پنهانی باند که در آشکارسازی در پشت فیلتر به دست می‌آید $2\pi\Delta f = 2\omega - \omega_0$ خواهد بود. با این فرض که پالس ورودی دارای پیشانی قائم است، تماس فرکانسها را حاوی است و از آنجا که علیرغم اندازه‌گیری در فضای محدود شده با قفس فاراد پالسها انتشارشی بر روی پالسها ناشی از تخلیه الکتریکی (کرونای داخلی) سوار می‌شود، اندازه‌گیری با باند باریک دارای این جنبه ضعف است که نمی‌دانیم حذف پالسها دو منتهی‌الیه و یا واقع شده در محدوده Δf چه مشخصاتی داشته و از چه نوع می‌باشد. بنابراین متناسب تصویر کردن پالسها اندازه‌گیری شده با تلفات واردہ در این طریقه از اندازه‌گیریها همیشه صحیح نیست. بهویژه آنکه چنین پالسها در ورودی با توجه به مقاومت‌های القائی دستگاه اندازه‌گیری و فیلترهای بهکار گرفته شده در خروجی به‌شکل موج تناوبی میرا به دست می‌آید.

در اندازه‌گیری با باند پهن در بدترین حالات تلفات اندازه‌گیری شده مجموعه‌ای از پالسها تخلیه الکتریکی و پالسها انتشارشی است که با توجه به‌نسبت این دو (درصورت دقیق بودن قفس فاراد) مقادیر به دست آمده با حداقل تلفات، اختلاف ناجیزی را نشان می‌دهد.

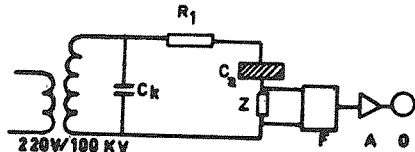
حفره باید به "U" برسد تا بتواند تخلیه‌ای در نیمه پریود منفی ایجاد گردد.

بدین‌ترتیب دو دسته پالسها جریان ناشی از تخلیه‌های الکتریکی در یک حفره بوجود می‌آید. یک دسته در یک جهت به‌نگام افزایش ولتاژ و یک دسته پالسها جریان خازنی جریان در جهت دیگر به‌موقع کاهش ولتاژ. پالسها جریان بر روی قله‌های منحنی جریان خازنی عایق سوار شده و در حول و موش آن قرار می‌گیرند. بدین‌سوی تلفات ناشی از کرونای داخلی، تلفاتی حقیقی است. در شکل (۳) پالسها جریان ناشی از کرونای داخلی مشخص شدماند.

آشکارسازی کرونای داخلی

تخلیه الکتریکی ناقص پدیده‌های مختلفی را متاثر می‌سازد که می‌توانند جهت اشکارسازی مورد استفاده قرار گیرند، از جمله: پدیده‌های الکتریکی (پالسها) الکتریکی (تلفات)، تشعشعات الکترومغناطیسی، نور، حرارت، صدا، فشار گاز و تغییر و تبدیلهای شبیه‌یابی ماده.

در میان روش‌های فوق، آشکارسازی از طریق الکتریکی مناسب‌تر و دقیق‌تر از بقیه روش‌ها می‌باشد. تخلیه الکتریکی در حفره یک عایق باعث ایجاد ایمپالسها جریان در عایق می‌گردد (شکل ۳). درصورتی که پالسها جریان را از یک امپدانس عبور دهیم، با تقویت پالس فوق می‌توان تخلیه الکتریکی ایجاد شده را آشکار نمود. مداری که برای اندازه‌گیری پالسها کرونا در عایق تهیه شده در شکل (۴) نشان داده می‌شود.



شکل ۶- مدار اندازه‌گیری کرونای داخلی

این مدار از عناصر زیر تشکیل یافته است:
 عایق یا کاپاصلیت C_k که تخلیه الکتریکی در آن بررسی می‌شود.
 مقاومت R برای محافظت ترانسفورماتور فشار قوی در مقابل فروپاشی کامل عایق.
 امپدانس Z یا امپدانس آشکارساز

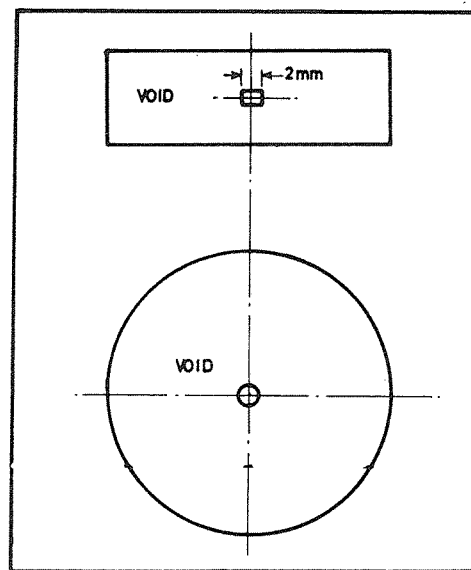
فیلتر بالاگذرن F ، جهت حذف جریان با فرکانس 50 Hz و جداسازی جریان کرونا با فرکانس بالا خازن کوپلینگ C_F که عبور فرکانسها بالا ایمپالسها جریان را ساده می‌کند.

تقویت کننده A
 اسیلوسکوپ O

اندازه‌گیری کرونای داخلی بروش باند پهن و باند باریک^۴
 اندازه‌گیری کرونای داخلی را می‌توان به‌مکم اسیلوسکوپ با باند پهن و یا به‌مکم یک دستگاه اندازه‌گیری از قبیل ولتمتر و یا پل‌شرینگ انجام داد. که در این صورت پنهانه پالسها اندازه‌گیری شده همه پالسها نیست و بر حسب فرکانس قسمتی از کل پالسها پدیدآمده است (اندازه‌گیری با باند باریک).
 در استانداردهای بین‌المللی مثلاً IEC پنهانه باند (پنهانه‌ای از

آزمایشات تخلیه الکتریکی ناقص در پلی اتیلن

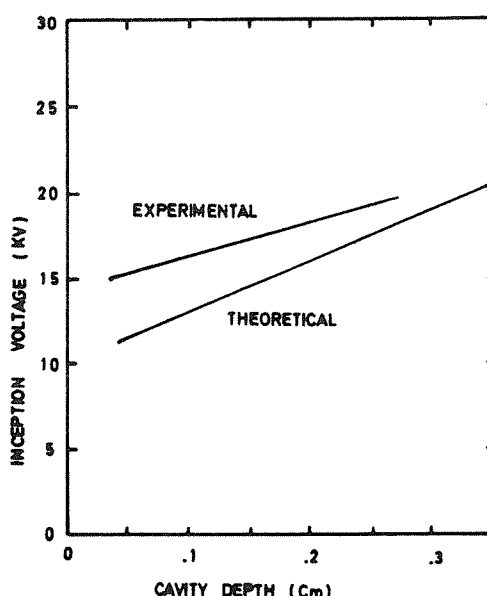
بر روی تعدادی نمونه پلی اتیلن طبق شکل (۶)، با عدد عایقی ۲/۳ و ضخامت ۴ میلیمتر، که در آنها حفره‌های مشخص و معینی تعییه شده است، تخلیه ناقص الکتریکی، چه از نظر کمی و چه از نظر کیفی، در آنها مورد بررسی قرار می‌گیرد. حفره‌های تعییه شده در قطعات آزمایشی پلی اتیلن به قطر ۲ میلیمتر و در عمق‌های مختلف می‌باشد.



شکل ۶- شعاع‌های عایقهای پلی اتیلن مورد آزمایش

V_{inc} فشار الکتریکی شروع تخلیه^۵ و V_{cbr} فشار الکتریکی شکست حفره است که با استفاده از منحنی پاشن برای گاز داخل حفره بدست می‌آید.
نتایج آزمایشات تجربی و محاسبات تئوریکی در شکل (۷) نشان داده شده‌اند و تاحد قابل قبولی بهم نزدیک می‌باشد.
مقادیر بدست آمده نشانگر این واقعیتند که هرچه عمق حفره زیاد شود، فشار الکتریکی شروع تخلیه نیز رو به افزایش می‌گذارد. زیاد شدن فشار الکتریکی شروع تخلیه بهدلیل افزایش استقامت الکتریکی حفره داخل عایق می‌باشد. بدگونه‌ای که در فشار بالاتری منجر به شکست می‌گردد. جز این‌که دامنه تخلیه ایجاد شده در حفره‌های عمیق‌تر بزرگتر از دامنه تخلیه در حفره‌های با عمق کمتر می‌باشد. به عبارت دیگر افزایش عمق حفره منجر به افزایش دامنه تخلیه می‌گردد تا جایی که به شکست الکتریکی عایق منتهی می‌شود. در حالی که هرچه عمق حفره کوچک‌تر شود دامنه تخلیه کوچک‌تر خواهد شد، بهطوری که در تخلیه‌های بسیار کوچک تشخیص آنها کار ساده‌ای نبود و درصورتی که مقدار آنها کمتر از حدود ۱۵ پیکوکولمب باشد، از اهمیت خاصی نیز برخوردار نیست. بدینهی است که افزایش دامنه تخلیه الکتریکی در تابعیت از عمق حفره تا آنجا ادامه دارد که میدان داخل حفره میدانی یکنواخت باقی بماند. با افزایش عمق حفره و کوچک بودن قطر آن میدان الکتریکی ایجاد شده به‌سمت میدانی غیریکنواخت سوق می‌یابد و بر اثر بدید آمدن بار الکتریکی فضائی، تخلیه الکتریکی قطع می‌شود تا آن‌که بار الکتریکی فضائی بر اثر شدت میدان به‌سمت قطبها رفت و تخلیه الکتریکی مجدداً "آغاز شود".

از آنچه توضیح داده شد مسلم می‌شود که تحت یک فشار الکتریکی ثابت، با افزایش عمق حفره‌ها تعداد دفعات تخلیه کم می‌گردد. این پدیده در شکل (۸) نشان داده شده است.



شکل ۷- دیاگرام ولتاژ شروع کوروتنا در تابعیت از عمق حفره‌ها در پلی اتیلن

جهت جلوگیری از اغتشاشات خارجی مدار آزمایش کاملاً در قفس فاراد قرار گرفته و علاوه بر آن به منظور حذف تخلیه‌های الکتریکی بین دو الکترود در هوا، قطعات پلی اتیلن در روغن غوطه‌ور آزمایش شده‌اند.

فشار الکتریکی شروع کورونا^۵

با توجه به مدار معادل شکل (۲)، C_c و C_b عبارتند از:

$$C_c = \frac{\epsilon_r A}{h}, \quad C_b = \frac{\epsilon_0 \epsilon_r A}{d-h} \quad (2)$$

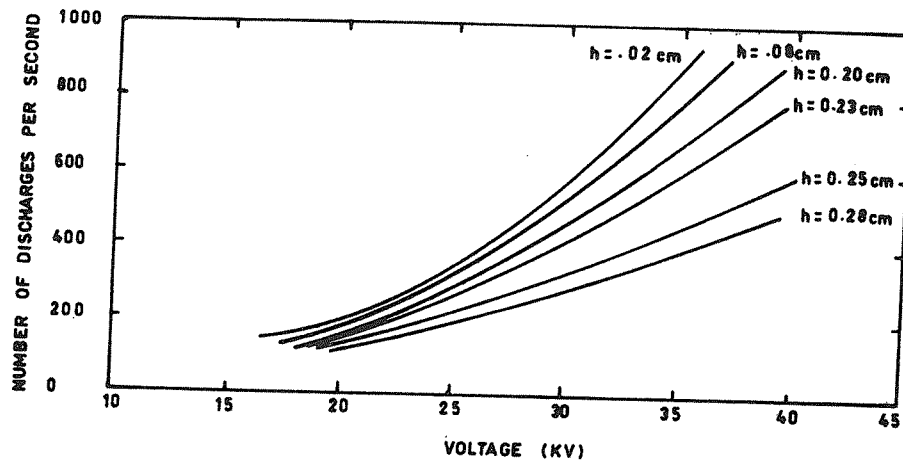
ϵ_0 عدد عایقی هوا یا خلاء و ϵ_r عدد عایقی گاز داخل حفره است که تقریباً "برابر یک" می‌باشد. h عمق حفره d ضخامت عایق و A سطح مقطع حفره مجوف داخل عایق است.

با قرار دادن روابط (۲) در رابطه (۱) فشار الکتریکی شکست حفره عبارت خواهد بود از:

$$V_{inc} = \frac{\epsilon_r h}{(\epsilon_r - 1) h + d} \cdot V_a \quad (3)$$

فشار الکتریکی شروع تخلیه موقعی قابل حصول است که در آن، استقامت الکتریکی حفره در ستانه شکست قرار گیرد:

$$V_{inc} = \frac{(\epsilon_r - 1) h + d}{\epsilon_r h} \cdot V_{cbr} \quad (4)$$



شکل ۸— مقایسه تعداد تخلیه در پلی اتیلن حاوی یک حفره با عمقهای مختلف

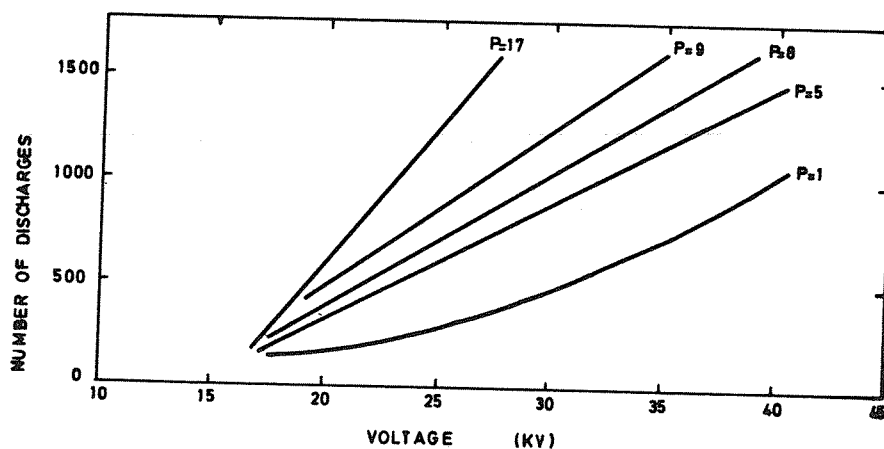
شکل دیده می شود که با افزایش تعداد حفره ها ، ولتاژ شروع تخلیه تفاوت محسوسی نکرده ولی با افزایش ولتاژ ، تعداد تخلیه سریعاً " زیاد می گردد . تغییر ظرفیت عایق در اثر کورونای داخلی در اثر شکست الکتریکی در حفره مجوف تغییری در ظرفیت کل عایق سریع نمی باشد . لذا بار الکتریکی در عایق بطور ناگهانی افزایش می یابد . پدیده می آید . در اینجا فرکانس بالای تخلیه و مقاومت سلفی بزرگ مولد ، بار الکتریکی اضافی نمی تواند از طریق مولد تامین گردد . بنابراین در دو سر منبع افت پتانسیالی به صورت وقت پدیده می آید . در صورتی که ظرفیت عایق قبل از وقوع تخلیه برابر C_1 و پس از آن برابر C_2 باشد ، با توجه به مدار معادل شکل (۲) داریم :

$$C_1 = C_a + \frac{C_c \cdot C_b}{C_c + C_b} \quad (5)$$

$$C_2 = C_a + C_b \quad (6)$$

تعداد حفره های عایق در فشار الکتریکی شروع اثری ندارد . ولی با افزایش فشار الکتریکی تعداد تخلیه افزایش می یابد . پدیده فوق با توجه به فیزیک عایق بدینه می گردد . موقعی که عایق یک حفره وجود داشته باشد ، یک تخلیه تحت فشار الکتریکی شروع در آن ایجاد می گردد . حال با فرض آنکه تعداد حفره ها n برابر شود ، با این تخلیه در فشار الکتریکی شروع مواجه خواهیم بود و قبل از آن تخلیه ای بموقوع نمی پیوندد و این با توجه به مدار معادل عایق در شکل (۲) قابل تفسیر می باشد . در واقع هر المان عایق که حاوی یک حفره است می نواند جانشین C_b و C_e گردد و تقسیم پتانسیل در آن به همان صورتی است که در عایق صاحب یک حفره وجود دارد .

شکل (۹) منحنی های تعداد تخلیه الکتریکی را در تابعیت از ولتاژ عایق در عایقهای صاحب حفره های متعدد نشان می دهد . مطابق این



شکل ۹— مقایسه تعداد تخلیه در پلی اتیلن با حفره های متغیر

همان‌طور که در اندازه‌گیری با باند باریک گفته شد تلفات ناشی از تخلیه را به متوسط پل شرینگ نیز می‌توان اندازه‌گیری نمود، ولی به‌خاطر لختی و مقاومت سلفی پل مقادیر به دست آمده از پل همواره از مقادیر واقعی که توسط شکارساز با باند پهن به دست می‌آید کمتر می‌باشد.

تلفات کورونا

شکل (۱۵) تلفات کورونا ناشی از ایجاد تخلیه الکتریکی در حفره به عمق ۰/۰۲ سانتی‌متر را در عایق پلی‌اتیلن از دو روش اندازه‌گیری باند پهن و باند باریک نشان می‌دهد. با این‌که مقادیر به دست آمده از روش پل شرینگ تقریبی است، معدالک می‌تواند معیاری برای اندازه‌گیری تخلیه ناقص الکتریکی باشد.

میزان تلفات کورونای داخلی در عایق با افزایش عمق حفره (در حالتی که کورونا به‌علت بار فضائی قطع نشود و یا زمان بین قطع و شروع مجدد کوتاه باشد) و تعداد حفره‌ها زیاد می‌شود. درحالی‌که عایق یک حفره داشته باشد افزایش تلفات ناشی از عمق شده حفره و افت ولتاژ زیاد و بالمال تغییر زیاد طرفیت عایق بهنگام تخلیه می‌باشد.

اگر ولتاژ منبع برابر U و ΔU افت ولتاژ منبع داریم:

$$\Delta U = -U \frac{\Delta C}{C_a + C_b} \quad (2)$$

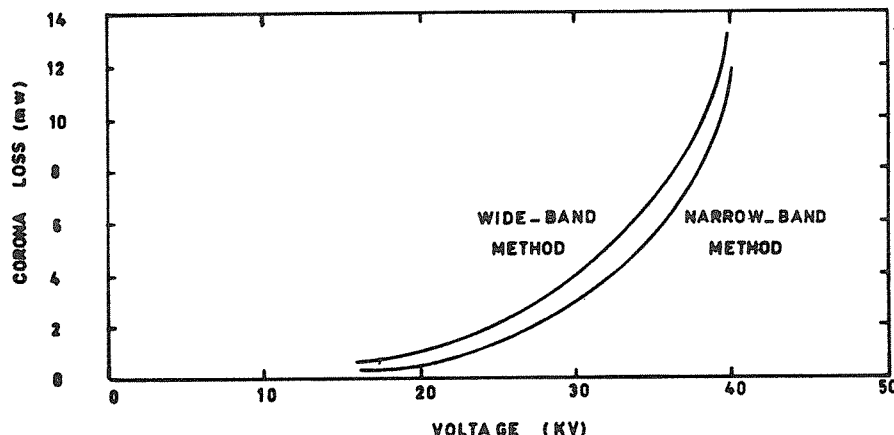
و اضافه بار الکتریکی ناشی از تخلیه عبارت است از:

$$\Delta Q = C_2 \Delta U \quad (3)$$

$$P = U_i = U \frac{\Delta Q}{\Delta t} = U \frac{C_2 \Delta U}{\Delta t} \quad (4)$$

$$P = UC_2 \sum_{i=1}^n \sum_{j=1}^{p_i} \Delta U \quad (5)$$

در صورتی که در هریک از حفره‌ها در واحد زمان n تخلیه صورت پذیرد و P حفره در عایق موجود باشد حداکثر تلفات ناشی از کورونا یا تخلیه داخلی عبارت خواهد بود از:



شکل ۱۵- تلفات در پلی‌اتیلن حاوی یک حفره و عمق ۰/۰۲ سانتی‌متر

عمیق شدن حفره‌ها فشار الکتریکی شروع تخلیه و دامنه پالسهای کورونا افزایش می‌یابد. این افزایش منوط به عدم ایجاد بار فضائی در حفره می‌باشد. پالسها در صورت شدت یافتن با اکسیده کردن چداره حفره تلفات عایقی بزرگی را پدید آورده و عمر مفید عایق را بهشت کاهش می‌دهد.

با افزایش عمق حفره‌ها تلفات افزایش می‌یابد به‌نحوی که این تلفات با حجم حفره در ارتباط واقع می‌شود. این تلفات به‌ویژه در کابل‌های پلی‌اتیلن تحت فشار قوی از نظر اقتصادی پدید آورند زیانهای غیرقابل جبرانی است.

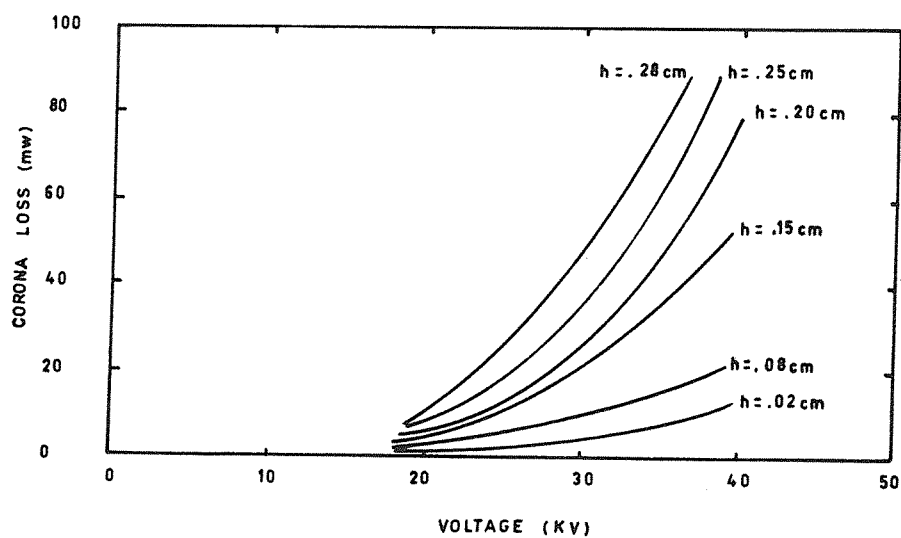
افزایش تعداد حفره‌ها در صورت ثابت نگاهداشت حجم آنها تاثیری در فشار الکتریکی شروع کورونا نخواهد داشت، لیکن منجر به افزایش تلفات کورونا می‌گردد.

در عایق با حفره‌های متعدد با اینکه افت ولتاژ منبع به‌ازاء یک عمق ثابت تفاوت محسوسی ندارد، لیکن چون تعداد تخلیه در عایق حاوی حفره‌های بیشتر، زیادتر می‌باشد و از طرف دیگر تلفات حاصله بستگی مستقیم به تعداد تخلیه در عایق دارد، لذا تلفات در عایق بیشتر می‌گردد.

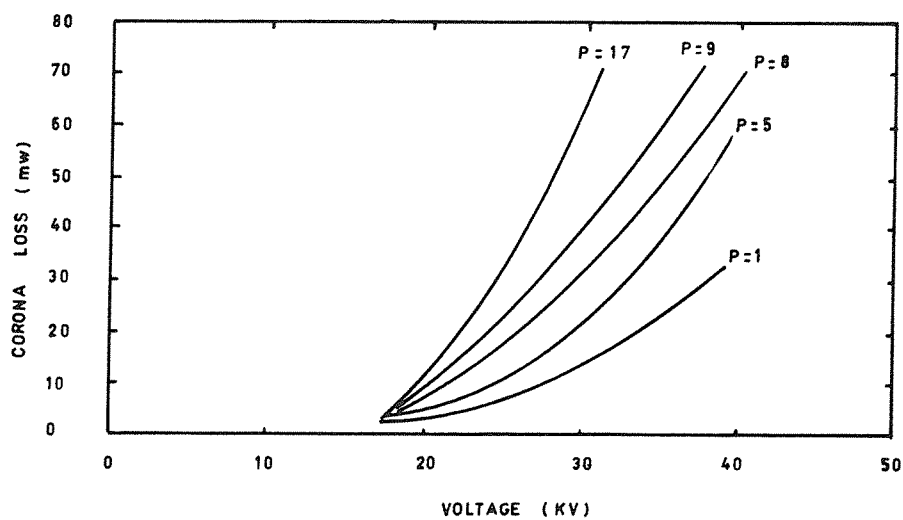
در شکل‌های (۱۱) و (۱۲) مقایسه‌ای بین تلفات کورونا در عایقهای با یک حفره تحت عمقهای مختلف و عایقهای با حفره‌های متعدد تحت یک عمق ثابت به عمل آمده است.

نتیجه:

در نمونه‌های از عایق پلی‌اتیلن حفره‌های مشخصی تعییه شده و بر روی آنها تخلیه الکتریکی ناقص پدید آورده شد. نتایج تجربی نیز با مقادیر محاسبه شده مقایسه گردید. نتایج آزمایشها نشان می‌دهد که با



شکل ۱۱— مقایسه تلفات در پلی اتیلن با یک حفره از روش باند پهن



شکل ۱۲— مقایسه تلفات در پلی اتیلن حاوی حفره های متعدد از روش باند پهن

پاورقی

-
- | | |
|--|--|
| 1. Partial Discharge 2. Voids 3. Paschen | 4. Wide & Narrow Band Measurements 5. Inception Voltage |
|--|--|

- ۱- علیرضا علیان مهر، "ترفوق لیسانس"، دانشکده برق دانشگاه صنعتی امیرکبیر، ۱۳۶۸
- ۲- دکتر محمدقلی محمدی "اصول مهندسی فشار قوی الکتریکی" انتشارات دهدزا، ۱۳۵۲.
3. F. H. Kreuger: "Discharge Detection in High Voltage Equipment" Temple Press Bousles Ltd. London 1964
4. R. Bartnikas, G.I.D'Ombrain: "A Study of Corona Discharge Rate and Energy Loss in Spark Gaps" IEEE Trans. on Power App. and Sys. Vol PAS-84-No.9, Sept 1965, PP: 770-779
5. Christian J. Mayoux: "Partial Discharge Phenomena and the Effect of their Constituents on Polyethylene" IEEE Trans. on Electrical Insulation, Vol EI-11, No 4, Dec 1964 PP: 139-149
6. T.H. Praehauser: "Locating Partial Discharge in High Voltage Equipment" Bulletin ASE, Bd. 63, 1972, PP. 893-905

